

УДК 523.42

АСТРОНОМИЯ

К. И. ГРИНГАУЗ, М. И. ВЕРИГИН, Т. К. БРЕУС, Т. ГОМОШИ (ВНР)

**ЭЛЕКТРОННЫЕ ПОТОКИ, ИЗМЕРЕННЫЕ В ОПТИЧЕСКОЙ ТЕНИ
ВЕНЕРЫ НА СПУТНИКАХ «ВЕНЕРА-9» И «ВЕНЕРА-10» —
ОСНОВНОЙ ИСТОЧНИК ИОНИЗАЦИИ В НОЧНОЙ ИОНОСФЕРЕ
ВЕНЕРЫ**

(Представлено академиком Р. З. Сагдеевым 10 VIII 1976)

Имеющиеся в настоящее время сведения о ночной ионосфере Венеры были получены при однократных наблюдениях радиозатмений космических аппаратов Маринер 5 (¹), Маринер 10 (²) и при многократных аналогичных наблюдениях при помощи спутников «Венера-9, 10» (³).

На изменчивых высотных профилях электронной концентрации $n_e(h)$ присутствовали один или два максимума n_e со значениями n_{em} от $\sim 6 \cdot 10^3$ до $\sim 2 \cdot 10^4 \text{ см}^{-3}$ на высотах h_m от ~ 120 до ~ 140 км. Объяснение сравнительно высоких концентраций электронов в ночном максимуме и изменчивости $n_e(h)$ -профилей представляло серьезную трудность (⁴, ⁵). Действительно, период вращения верхней атмосферы Венеры составляет ~ 4 суток (⁶), а характерное время рекомбинации $\tau_r \approx (\alpha n_{em})^{-1} \approx 100 - 500$ сек. при $\alpha \approx 3,8 \cdot 10^{-7} \text{ см}^3 \cdot \text{сек}^{-1}$, α — коэффициент диссоциативной рекомбинации CO_2^+ с электронами, которая преобладает над другими видами рекомбинации (⁷); следовательно, для поддержания ночной ионосферы Венеры необходимо существование довольно интенсивного постоянно действующего источника ионизации. В качестве возможных источников ночной ионизации обсуждались турбулизованные за фронтом околопланетной ударной волны потоки солнечного ветра, частично попадающие в атмосферу Венеры, космические лучи, рассеянное L_α -излучение, перезарядка CO_2 с ионами He^+ , перенесенными с дневной стороны планеты, метеоритная ионизация (¹, ⁴, ⁵, ⁸). Все рассмотренные гипотезы или не давали удовлетворительного объяснения наблюдавшихся значений n_e или не опирались на прямые экспериментальные данные, относящиеся к источникам ионизации.

На спутниках «Венера-9» и «Венера-10» проводили измерения направленных к Венере потоков электронов на высотах $\sim 1500 - 2000$ км в оптической тени планеты. Использованные приборы незначительно отличаются от применявшихся ранее в плазменных экспериментах вблизи Марса (⁹). Ниже приводятся оценки, показывающие, что измеренные потоки электронов достаточны для ионизации нейтральной атмосферы Венеры с величиной n_{em} , соответствующей данным наблюдений.

Энергетические спектры электронов регистрировали при помощи широкоугольного ($\pm 40^\circ$) датчика с анализом электронов по энергиям при подаче на анализирующую сетку 16 значений тормозящего потенциала U_t в диапазоне 0—300 в.

В оптической тени планеты потоки электронов регистрировали всегда и при всех значениях тормозящего потенциала U_t . В качестве примера в табл. 1 приведены значения всенаправленного потока электронов j_{eo} с энергией $E \geq eU_t$, рассчитанного по измеренным токам электронного датчика с учетом угловых характеристик ловушки (см. (⁹)) в предположении, что функция распределения электронов изотропна. Участки орбит спутников, на которых получены эти данные, выделены жирной чертой на рис. 1.

Как видно из табл. 1, в оптической тени Венеры (см. рис. 2) в этих сеансах измерений j_{eo} ($E \geq 40$ эв) $\approx (1-2) \cdot 10^8 \text{ см}^{-2} \cdot \text{сек}^{-1}$, большинство электронов имеет энергию порядка десятков электроно-вольт.

Таблица 1

$U_T, \text{ в}$	0	10	20	40	80	150	300	Примечание
$i_{e0}(E \geq eU_T),$ $10^8 \text{ см}^{-2} \text{сек}^{-1}$	7 3,1	4 2,3	2,5 2	1,2 1,4	0,6 0,8	0,6 0,5	0,5 0,5	«Венера-9», 11XI 1975 г., 06 ^h 02 ^m UT «Венера-10», 20XI, 1975 г., 21 ^h 17 ^m UT

Процессы взаимодействия электронных потоков с нейтральной атмосферой (Земли) ранее неоднократно рассматривались (см., например, обзор (10)), однако такое рассмотрение проводилось для электронов с энергией порядка килоэлектроно-вольт (или нескольких десятков килоэлектроно-вольт), когда можно пренебречь их рассеянием и когда энергия, в среднем затраченная на один акт ионизации E_i (~ 35 эв в земной атмосфере (10)) мала по сравнению с энергией ионизирующих электронов. Вблизи Венеры оба эти условия не выполняются и требуется специальное рассмотрение.

Используем кинетическое уравнение (11)

$$\frac{\partial F}{\partial t} + v \frac{\partial F}{\partial v} - \frac{e}{m_e} \left(E + \frac{1}{c} [v, B] \right) \frac{\partial F}{\partial v} = \left(\frac{\partial F}{\partial t} \right)_c, \quad (1)$$

где $F(v, r)$ — функция распределения электронов, $(\partial F / \partial t)_c$ — интеграл столкновений. Рассматривая стационарный случай и пренебрегая влиянием электрического E и магнитного B полей, сохраним в правой части (1) только второе слагаемое. На высотах максимума ионизации основной составляющей нейтральной атмосферы является CO_2 . Сечение упругого рассеяния электронов σ_c в CO_2 в диапазоне энергий 20–50 эв составляет $\sim (1,2-1,6) \cdot 10^{-15} \text{ см}^2$ (12). В качестве основного неупругого процесса будем рассматривать ионизацию CO_2 при столкновениях с электронами. Сечение ионизации σ_i быстро растет с энергией электронов от $\sim 6 \cdot 10^{-17} \text{ см}^{-2}$ при $E \approx 20$ эв до $\sim 2 \cdot 10^{-16} \text{ см}^{-2}$ при $E \approx 40$ эв, достигает $\sim 3 \cdot 10^{-16} \text{ см}^{-2}$ при $E \approx 100$ эв, после чего уменьшается до $\sim 10^{-16} \text{ см}^{-2}$ при $E \approx 1000$ эв (13). В дальнейшем будем считать сечения столкновений не зависящими от энергии и с учетом (12, 13), выберем их равными $\sigma_c \approx 10^{-15} \text{ см}^{-1}$, $\sigma_i \approx \approx 2 \cdot 10^{-16} \text{ см}^{-2}$ при $E \geq 40$ эв, $\sigma_i \approx 0$ при $E \leq 40$ эв. Таким образом, при столкновениях электронов с энергией в несколько десятков электроно-вольт с молекулами CO_2 в основном происходит упругое рассеяние электронов ($\sigma_c / \sigma_i \sim 5$), приводящее к изотропизации их функции распределения $F(v, r)$. Поэтому, если разложить $F(v, r)$ по сферическим функциям $Y_{lm}(v/v)$,

$$F(v) = F_0(v) + \frac{v}{v} F_1(v) + \sum_{l \geq 2, m} F_{lm}(v) Y_{lm} \left(\frac{v}{v} \right), \quad (2)$$

где $F_0(v)$, $F_1(v)$, $F_{lm}(v)$ — функции абсолютного значения скорости, то следует ожидать, что слагаемое $F_0(v)$ будет наибольшим.

Сохранив в (2) только два первых слагаемых и подставив (2) в (1), можно написать уравнения для определения F_0 и F_1 (см., например, (11)):

$${}^1/{}_3 v \nabla F_1 - J_0 = 0, \quad v \nabla F_0 - J_1 = 0, \quad (3)$$

$$J_0 = \int \left(\frac{\partial F}{\partial t} \right)_c \frac{d\Omega}{4\pi}, \quad J_1 = 3 \int \frac{v}{v} \left(\frac{\partial F}{\partial t} \right)_c \frac{d\Omega}{4\pi}$$

соответственно, нулевой и первый моменты интеграла столкновений.

В результате столкновений число электронов со скоростями в интервале $(v, v+dv)$ за время dt изменится на

$$(\partial F / \partial t)_c v^2 dv d\Omega dt = n_n v (-\sigma_c F(v) + \sigma_i F_0(v) - \sigma_i F(v) + \sigma_i F_0(\sqrt{v^2 + 2E_i/m_e}) (1 + 2E_i/m_e v^2)) v^2 dv d\Omega dt, \quad (4)$$

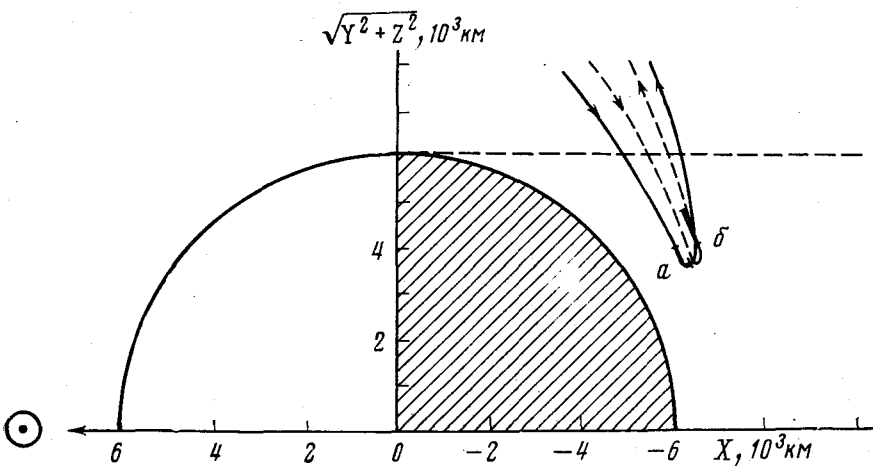


Рис. 1. Околопланетные части орбит «Венеры-9» (а) и «Венеры-10» (б)

где n_n — концентрация нейтралов. Первое и третье слагаемые в (4) описывают уменьшение электронов в рассматриваемом интервале скоростей в результате соответственно упругих и неупругих столкновений; второе — приток в интервал $(v, v+dv)$ электронов, испытавших упругое рассеяние, а последнее — приток электронов, потерявших при ионизации энергию E_i .

При выводе (4) предполагалось, что при упругих столкновениях энергия электрона не изменяется, при неупругих уменьшается на величину E_i , и что все направления скорости электрона после столкновения равновероятны. При дальнейших оценках будем считать, что энергетический спектр электронов достаточно быстро спадает с увеличением энергии, так что

$$F_0(v) \gg F_0(\sqrt{v^2 + 2E_i/m_e}) \quad (5)$$

и поэтому последним слагаемым в (4) можно пренебречь. Это означает, что при рассмотрении ионообразования можно пренебречь ионизацией, производимой электронами, испытавшими уже одно неупругое столкновение; влияние этого предположения на наши оценки обсуждается в дальнейшем.

Используя (4), с учетом (5), из уравнений (3) исключим $F_1(v)$:

$$\Delta F_0 - 1/n_n (\nabla n_n \cdot \nabla F_0) - 3n_n^2 \sigma_i (\sigma_i + \sigma_c) F_0 = 0. \quad (6)$$

Для плоской атмосферы, в которой n_n и F_0 зависят только от высоты h , используя монотонно спадающее с уменьшением h решение уравнения (6), можно найти скорость ионообразования q на высоте h :

$$q = j_{e0} (E \geq 40 \text{ эв}) \cdot \sigma_i n_n(h) \cdot \exp \left(-\sqrt{3\sigma_i(\sigma_i + \sigma_c)} \int_h^\infty n_n(h) dh \right). \quad (7)$$

Концентрацию ионосферных электронов $n_e(h)$ оценим из условия локального равновесия ионообразования и рекомбинации: $q - \alpha n_e^2 = 0$, откуда $n_e(h) = [q(h)/\alpha]^{1/2}$. Высоту максимума ионизации h_m найдем из условия $dn_e(h_m)/dh = 0$, откуда, используя (7), получим,

$$dn_e(h_m)/dh = -\sqrt{3\sigma_i(\sigma_i + \sigma_c)} n_n^2(h_m). \quad (8)$$

Так как $n_n(h) = n_n(h_m) \exp(-(h-h_m)/H(h_m))$ в окрестности h_m , где $n_n(h_m)$ и $H(h_m)$ — концентрация и шкала высот для нейтралов при $h=h_m$, то из (8) следует, что

$$\sqrt{3\sigma_i(\sigma_i + \sigma_c)} n_n(h_m) H(h_m) = 1. \quad (9)$$

В «максимальной» модели нейтральной атмосферы Венеры, наиболее соответствующей условиям наших измерений (1975 г., \sim минимум солн-

нечной активности и ночь), температура верхней атмосферы T_∞ принята равной 430°K (¹⁴). Согласно этой модели, уравнению (9) удовлетворяет $h_m \approx 180$ км, на которой $n_n(h_m) \approx 9 \cdot 10^8 \text{ см}^{-3}$, $H(h_m) \approx 11$ км. Расхождения оцененной этим способом высоты h_m с высотами максимума ночной ионосферной ионизации, наблюдавшегося методом радиозатмений (¹⁻³), возможно, связаны с недостаточным знанием параметров ночной нейтральной верхней атмосферы Венеры. Действительно, например, в работе (¹⁵), рассматривающей изменение температуры верхней атмосферы от дня к ночи, при среднем уровне солнечной активности величина T_∞ изменяется от $\sim 800^\circ\text{K}$ днем до $\sim 300^\circ\text{K}$ ночью. Измерения на «Венере-9» и «Венере-10» соответствуют минимуму солнечной активности, поэтому, принимая для ночи $T_\infty \approx 250^\circ\text{K}$ и продолжая «максимальную» модель (¹⁴) с высоты 100 км (на которой параметры, приведенные в этой модели достаточно надежны (¹⁴)) по барометрической формуле, получим, что в этом случае уравнению (9) удовлетворяет высота максимума ионосферной ионизации $h_m \approx 150$ км, значительно лучше согласующаяся с результатами наблюдений (¹⁻³). На этой высоте $n_n(h_m) \approx 2 \cdot 10^9 \text{ см}^{-3}$, $H(h_m) \approx 6$ км.

Если предположить, что $n_n(h)$ на всех высотах описывается приведенным выше выражением, верным в окрестности h_m , то выражение для профиля электронной концентрации можно записать в виде

$$n_e(h) = \sqrt{\frac{n_n(h_m) \sigma_i j_{e0}}{\alpha}} \exp(-\frac{1}{2}(h-h_m)/H(h_m)) - \frac{1}{2} \exp(-(h-h_m)/H(h_m)). \quad (10)$$

Из (10) можно получить концентрацию ионосферных электронов в максимуме ночной ионосферы $n_{em} = [n_n(h_m) \sigma_i j_{e0}/\alpha e]^{1/2} \approx (5-8) \cdot 10^3 \text{ см}^{-3}$. Следовательно, измеренные в эксперименте на спутниках «Венера-9, 10» потоки электронов в оптической тени планеты вполне могут обеспечить существование наблюдаемых значений n_e в ночной ионосфере Венеры.

Выше не учтены некоторые факторы, влияющие на n_{em} и h_m , в частности, ионизирующее действие ионных потоков, попадающих в ночную ионосферу из оптической тени планеты, и реальная функция распределения ионизирующих электронов. Последняя может падать с увеличением энергии медленнее, чем описывается условием (5). Это, однако, приведет к тому, что энергичные электроны, осуществив акты ионизации CO₂ на высоте h будут диффундировать на меньшие высоты, проводя повторную ионизацию, что, очевидно, вызовет увеличение n_{em} и понижение h_m . Таким образом, указанные неточности не могут изменить основного вывода о достаточности потоков электронов в оптической тени планеты для создания ее ночной ионосферы.

Авторы благодарят А. А. Галеева, М. Я. Марова, В. И. Мороза и Н. К. Осипова за полезную дискуссию.

Институт космических исследований
Академии наук СССР
Москва

Поступило
22 VII 1976

ЛИТЕРАТУРА

- ¹ Mariner Stanford Group, Science, v. 158, 1678 (1967). ² H. T. Howard *et al.*, Science, v. 183, 1297 (1974). ³ Ю. Н. Александров, М. Б. Васильев и др., Препринт инст. космич. иссл. АН СССР, М., Пр-278, 1976. ⁴ К. И. Гриңгауз и др., Косм. иссл., т. 6, 411 (1968). ⁵ M. B. McElroy, D. F. Strobel, J. Geophys. Res., v. 74, 1118 (1969). ⁶ А. Д. Кузьмин, М. Я. Маров, Физика планеты Венера, М., «Наука», 1974. ⁷ C. S. Weller, M. A. Biondi, Phys. Rev. Letters, v. 19, 59 (1967). ⁸ D. M. Butler, J. W. Chamberlain, Papers of VII Annual Meeting of American Astronomical Society, 30 March – 3 April, 1976, Austin, Texas, p. 35. ⁹ К. И. Гриңгауз и др., Косм. иссл., т. 12, 430 (1974). ¹⁰ Н. К. Осипов, Н. Б. Пивоварова, В. Г. Пивоваров, Магнитно-ионосферные возмущения и потоки авроральных электронов, М., «Наука», 1973. ¹¹ Электродинамика плазмы, гл. 7, М., «Наука», 1974. ¹² И. Мак-Даниель, Процессы столкновений в ионизированных газах, М., «Мир», 1967. ¹³ D. J. Strickland, A. E. S. Green, J. Geophys. Res., v. 74, 6415 (1969). ¹⁴ М. Я. Маров, О. Л. Рябов, Модель атмосферы Венеры, препринт ИПМ АН СССР, № 142, М., 1974. ¹⁵ М. Н. Изаков, С. К. Морозов, Косм. иссл., т. 13, 404 (1975).